

Starkniederschlagshöhen und -spenden gemäß KOSTRA-DWD-2010R

Auswertungszeitraum von 1951 - 2010, Januar - Dezember

Rasterfeld: 29061

Zeile: 29

Spalte: 61

Seite: 1/2

| Dauerstufe D | | Wiederkehrzeit T | | | | | | | | | | | | | | | | | |
|--------------|-----|------------------|------------|------|------------|------|------------|------|------------|------|------------|------|------------|------|------------|------|------------|-------|------------|
| | | 1 a | | 2 a | | 3 a | | 5 a | | 10 a | | 20 a | | 30 a | | 50 a | | 100 a | |
| min | Std | mm | l / (s ha) | mm | l / (s ha) | mm | l / (s ha) | mm | l / (s ha) | mm | l / (s ha) | mm | l / (s ha) | mm | l / (s ha) | mm | l / (s ha) | mm | l / (s ha) |
| 5 | | 4,9 | 163,3 | 6,4 | 213,3 | 7,2 | 240,0 | 8,3 | 276,7 | 9,8 | 326,7 | 11,3 | 376,7 | 12,1 | 403,3 | 13,2 | 440,0 | 14,7 | 490,0 |
| 10 | | 7,6 | 126,7 | 9,6 | 160,0 | 10,8 | 180,0 | 12,3 | 205,0 | 14,4 | 240,0 | 16,4 | 273,3 | 17,6 | 293,3 | 19,1 | 318,3 | 21,1 | 351,7 |
| 15 | | 9,3 | 103,3 | 11,8 | 131,1 | 13,2 | 146,7 | 15,0 | 166,7 | 17,5 | 194,4 | 20,0 | 222,2 | 21,4 | 237,8 | 23,2 | 257,8 | 25,7 | 285,6 |
| 20 | | 10,5 | 87,5 | 13,3 | 110,8 | 15,0 | 125,0 | 17,0 | 141,7 | 19,9 | 165,8 | 22,7 | 189,2 | 24,4 | 203,3 | 26,4 | 220,0 | 29,3 | 244,2 |
| 30 | | 12,0 | 66,7 | 15,4 | 85,6 | 17,4 | 96,7 | 20,0 | 111,1 | 23,4 | 130,0 | 26,8 | 148,9 | 28,8 | 160,0 | 31,3 | 173,9 | 34,7 | 192,8 |
| 45 | | 13,3 | 49,3 | 17,5 | 64,8 | 19,9 | 73,7 | 22,9 | 84,8 | 27,1 | 100,4 | 31,2 | 115,6 | 33,6 | 124,4 | 36,6 | 135,6 | 40,8 | 151,1 |
| 60 | | 14,1 | 39,2 | 18,8 | 52,2 | 21,6 | 60,0 | 25,1 | 69,7 | 29,8 | 82,8 | 34,5 | 95,8 | 37,3 | 103,6 | 40,8 | 113,3 | 45,5 | 126,4 |
| 90 | | 15,5 | 28,7 | 20,6 | 38,1 | 23,6 | 43,7 | 27,4 | 50,7 | 32,5 | 60,2 | 37,6 | 69,6 | 40,6 | 75,2 | 44,4 | 82,2 | 49,5 | 91,7 |
| 120 | 2 | 16,5 | 22,9 | 22,0 | 30,6 | 25,1 | 34,9 | 29,1 | 40,4 | 34,6 | 48,1 | 40,0 | 55,6 | 43,2 | 60,0 | 47,2 | 65,6 | 52,6 | 73,1 |
| 180 | 3 | 18,1 | 16,8 | 24,0 | 22,2 | 27,5 | 25,5 | 31,8 | 29,4 | 37,7 | 34,9 | 43,6 | 40,4 | 47,1 | 43,6 | 51,4 | 47,6 | 57,3 | 53,1 |
| 240 | 4 | 19,3 | 13,4 | 25,6 | 17,8 | 29,3 | 20,3 | 33,9 | 23,5 | 40,1 | 27,8 | 46,4 | 32,2 | 50,0 | 34,7 | 54,6 | 37,9 | 60,9 | 42,3 |
| 360 | 6 | 21,2 | 9,8 | 28,0 | 13,0 | 32,0 | 14,8 | 37,0 | 17,1 | 43,8 | 20,3 | 50,6 | 23,4 | 54,5 | 25,2 | 59,5 | 27,5 | 66,3 | 30,7 |
| 540 | 9 | 23,3 | 7,2 | 30,6 | 9,4 | 34,9 | 10,8 | 40,4 | 12,5 | 47,7 | 14,7 | 55,1 | 17,0 | 59,4 | 18,3 | 64,9 | 20,0 | 72,2 | 22,3 |
| 720 | 12 | 24,8 | 5,7 | 32,7 | 7,6 | 37,2 | 8,6 | 43,0 | 10,0 | 50,8 | 11,8 | 58,6 | 13,6 | 63,2 | 14,6 | 68,9 | 15,9 | 76,7 | 17,8 |
| 1080 | 18 | 27,3 | 4,2 | 35,7 | 5,5 | 40,7 | 6,3 | 46,9 | 7,2 | 55,4 | 8,5 | 63,9 | 9,9 | 68,9 | 10,6 | 75,1 | 11,6 | 83,6 | 12,9 |
| 1440 | 24 | 29,1 | 3,4 | 38,1 | 4,4 | 43,3 | 5,0 | 50,0 | 5,8 | 59,0 | 6,8 | 67,9 | 7,9 | 73,2 | 8,5 | 79,8 | 9,2 | 88,8 | 10,3 |
| 2880 | 48 | 34,1 | 2,0 | 44,0 | 2,5 | 49,8 | 2,9 | 57,2 | 3,3 | 67,1 | 3,9 | 77,0 | 4,5 | 82,8 | 4,8 | 90,2 | 5,2 | 100,1 | 5,8 |
| 4320 | 72 | 37,4 | 1,4 | 47,9 | 1,8 | 54,0 | 2,1 | 61,8 | 2,4 | 72,2 | 2,8 | 82,7 | 3,2 | 88,9 | 3,4 | 96,6 | 3,7 | 107,1 | 4,1 |

Angaben in mm: Bemessungsniederschlagswerte h(n)

Angaben in l / (s ha): Regenspende R(n) mit $R(n) = h(n) \times 1,666667 / D[\text{min}]$

Toleranzbereiche:

+/- 10 % für $1 a \leq T \leq 5 a$

+/- 15 % für $5 a < T \leq 50 a$

+/- 20 % für $50 a < T \leq 100 a$

Datenbasis: KOSTRA-DWD-2010R des Deutschen Wetterdienstes. Die Regenspende wurde auf Basis des Bemessungsniederschlags zur jeweiligen Andauer berechnet.

Für die Richtigkeit und Aktualität der Angaben wird keine Gewähr übernommen. Erstellt 07/2022.

Starkniederschlagshöhen und -spenden gemäß KOSTRA-DWD-2010R

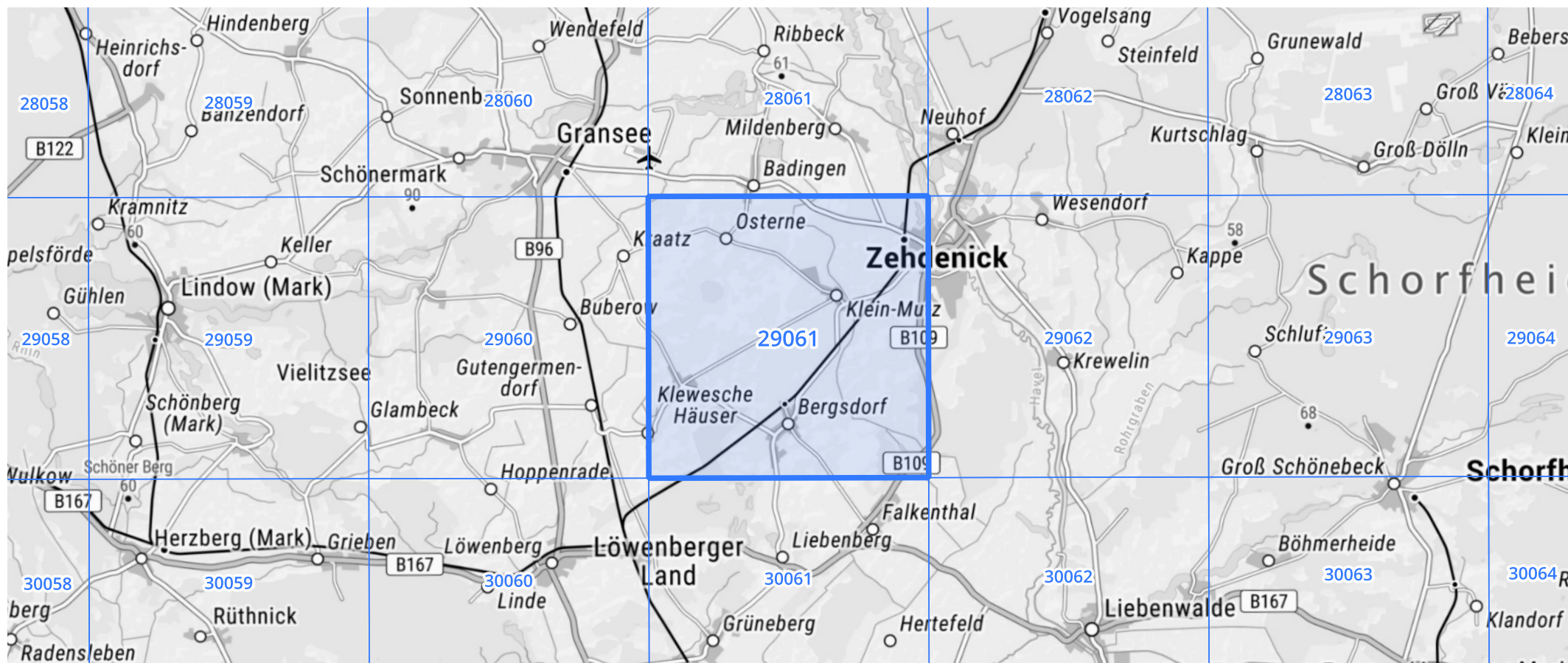
Auswertungszeitraum von 1951 - 2010, Januar - Dezember

Rasterfeld: 29061

Zeile: 29

Spalte: 61

Seite: 2/2



Quelle Rasterdaten: KOSTRA-DWD-2010R des Deutschen Wetterdienstes.

Kartendarstellung: © Bundesamt für Kartographie und Geodäsie (2022), Datenquellen: https://sgx.geodatenzentrum.de/web_public/gdz/datenquellen/Datenquellen_TopPlusOpen.html

Für die Richtigkeit und Aktualität der Angaben wird keine Gewähr übernommen. Erstellt 07/2022.